

<b>Zeitschrift:</b>	Schweizerische Bauzeitung
<b>Herausgeber:</b>	Verlags-AG der akademischen technischen Vereine
<b>Band:</b>	76 (1958)
<b>Heft:</b>	41
<b>Artikel:</b>	Zur Wirkungsgradaufwertung von Strömungsmaschinen, Verhalten einer Einzelmaschine und einer Reihe von Maschinen verschiedener Grösse
<b>Autor:</b>	Rütschi, K.
<b>DOI:</b>	<a href="https://doi.org/10.5169/seals-64061">https://doi.org/10.5169/seals-64061</a>

### **Nutzungsbedingungen**

Die ETH-Bibliothek ist die Anbieterin der digitalisierten Zeitschriften auf E-Periodica. Sie besitzt keine Urheberrechte an den Zeitschriften und ist nicht verantwortlich für deren Inhalte. Die Rechte liegen in der Regel bei den Herausgebern beziehungsweise den externen Rechteinhabern. Das Veröffentlichen von Bildern in Print- und Online-Publikationen sowie auf Social Media-Kanälen oder Webseiten ist nur mit vorheriger Genehmigung der Rechteinhaber erlaubt. [Mehr erfahren](#)

### **Conditions d'utilisation**

L'ETH Library est le fournisseur des revues numérisées. Elle ne détient aucun droit d'auteur sur les revues et n'est pas responsable de leur contenu. En règle générale, les droits sont détenus par les éditeurs ou les détenteurs de droits externes. La reproduction d'images dans des publications imprimées ou en ligne ainsi que sur des canaux de médias sociaux ou des sites web n'est autorisée qu'avec l'accord préalable des détenteurs des droits. [En savoir plus](#)

### **Terms of use**

The ETH Library is the provider of the digitised journals. It does not own any copyrights to the journals and is not responsible for their content. The rights usually lie with the publishers or the external rights holders. Publishing images in print and online publications, as well as on social media channels or websites, is only permitted with the prior consent of the rights holders. [Find out more](#)

**Download PDF:** 13.01.2026

**ETH-Bibliothek Zürich, E-Periodica, <https://www.e-periodica.ch>**

## Zur Wirkungsgradaufwertung von Strömungsmaschinen, Verhalten einer Einzelmaschine und einer Reihe von Maschinen verschiedener Grösse

DK 621—135

Von Dr. h. c. K. Rütschi, Brugg

Zur Klärung des Verhaltens einer Kreiselpumpe bei Änderung der Reynoldszahl sind an der Technischen Hochschule Braunschweig<sup>1)</sup> Untersuchungen vorgenommen worden, bei denen durch verschiedene Fördermittel, Temperaturen und Drehzahlen die  $Re$ -Zahl verändert werden konnte. Man bezeichnete einerseits Unterlagen für die Umrechnung der Betriebsdaten an der gleichen Maschine bei anderen Betriebsbedingungen, d. h. andern Reynoldszahlen zu gewinnen, und anderseits Vergleiche mit bestehenden Umrechnungs- und Aufwertungsformeln an Strömungsmaschinen zu ermöglichen.

Die Versuche wurden mit Wasser und einem dünnflüssigen Öl (Spindelöl-Raffinat) bei 20°C, 50°C und 85°C und mit den Drehzahlen 725 bis 2900 U/min durchgeführt. Der untersuchte Bereich erfasste damit die Reynoldszahlen  $Re = u_2 \cdot D_2/v = 5,50 \cdot 10^4$  bis  $1,74 \cdot 10^7$ , was einem Verhältnis  $Re_{max}/Re_{min} = 316$  entspricht, bei einem Verhältnis der Zähigkeiten  $v_{max}/v_{min} = 79$  und der Drehzahlen  $n_{max}/n_{min} = 4$ . Es ergaben sich dabei wertvolle Unterlagen z. B. für die Umrechnung einer Wasserpumpe auf Förderung von Öl, wobei die Ergebnisse von früheren Untersuchungen teilweise etwas abweichen, wenn auch die Tendenz überall dieselbe ist.

Ein weiterer Teil der Arbeit befasst sich mit einem Vergleich der gemessenen Wirkungsgradwerte bei veränderlichen  $Re$ -Zahlen mit den Ergebnissen verschiedener Aufwertungsformeln. Von den bekannten Formeln wurden insbesondere diejenigen von Pfleiderer und Ackeret herangezogen, die wie folgt lauten:

$$(1) \text{ Pfleiderer: } \frac{1 - \eta_2}{1 - \eta_1} = \left( \frac{Re_1}{Re_2} \right)^\alpha$$

$$\text{Ackeret: } \frac{1 - \eta_2}{1 - \eta_1} = \frac{1}{2} + \frac{1}{2} \left( \frac{Re_1}{Re_2} \right)^{2\alpha}$$

Dabei wird im Mittel  $\alpha = 0,1$  gesetzt.

Bild 1 zeigt die Kurve der gemessenen Wirkungsgrade und die nach Pfleiderer und Ackeret umgerechneten Wirkungsgrade in Abhängigkeit der Reynoldszahl. Dabei sind alle Kurven auf  $Re_1 = 10^7$  als Ausgangswert bezogen, über welchen Wert hinaus bei den vorliegenden Versuchen keine Wirkungsgradsteigerung mehr festgestellt werden konnte. Die Reynoldszahl wurde nach der Gleichung  $Re = u_2 \cdot D_2/v$  mit  $u_2$  = Umfangsgeschwindigkeit am Laufradaussendurchmesser in m/s,

$D_2$  = Laufradaussendurchmesser in m und

$v$  = Zähigkeit in  $\text{m}^2/\text{s}$  (bei Wasser 20°C = 1/10<sup>6</sup>)

berechnet, obwohl es für Strömungsmaschinen naheliegender wäre, eine Reynoldszahl zugrundezulegen, in der die Strömungsgeschwindigkeit im Schaufelkanal und eine für den Schaufelkanal typische Größenabmessung eingesetzt ist. Im vorliegenden Falle, wo alle Versuche an ein und derselben Maschine durchgeführt wurden, unterscheiden sich diese beiden Reynoldszahlen jedoch stets nur durch einen konstanten Faktor voneinander. Die in der Arbeit von R. Rotzoll verwendete Zahl spielt deshalb nicht die gleich wichtige Rolle, wie wenn verschiedene Strömungsmaschinen miteinander verglichen werden sollen<sup>2)</sup>.

Der Verlauf der Wirkungsgrad-Kurven in Bild 1 lässt darauf schliessen, dass es im untersuchten Bereich nicht zulässig ist, mit einem konstanten Exponenten  $\alpha = 0,1$  zu rechnen.

1) Dipl.-Ing. R. Rotzoll: Untersuchungen an einer langsamlaufenden Kreiselpumpe bei verschiedenen Reynoldszahlen. «Konstruktion», Heft 4/1958.

2) K. Rütschi: Reynoldszahl und dimensionslose Kennziffern bei Strömungsmaschinen, SBZ 12. Nov. 1955, Nr. 46, S. 721\*.

nen. Die sich aus den Messungen ergebenden Exponenten  $\alpha$  wurden mit Hilfe von Gl (1) auf zwei Arten bestimmt, nämlich erstens mit  $Re = 10^7$  als Bezugspunkt  $Re_1$ , wobei sich die Kurve  $\alpha_b$  ergab; zweitens wurde der örtliche Wert von  $\alpha$  aus dem Anstieg der gemessenen Kurve berechnet und als  $\alpha_{\bar{o}}$  im Bild 1 aufgetragen.

Dieser stark absinkende Verlauf von  $\alpha$  zeigt deutlich, dass für Wirkungsgradaufwertungen an ein und derselben Pumpe bei verschiedenen  $Re$ -Zahlen mit einem *veränderlichen Exponenten*  $\alpha$  zu rechnen ist. Es ist auch noch interessant festzustellen, dass der bisher als niedrig angenommene Wert  $\alpha = 0,1$  bei höheren Reynoldszahlen wesentlich unterschritten wurde.

Es war reizvoll, diese neuesten Ergebnisse, die durch Veränderung der Reynoldszahl an ein und derselben Pumpe gewonnen wurden, mit früheren Versuchen<sup>3)</sup> des Verfassers zu vergleichen, bei welchen Pumpen ähnlicher Bauart, jedoch verschiedener Grösse, untersucht wurden. Zu diesem Zwecke waren die Ergebnisse von Rotzoll mit denjenigen, die an verschiedenen Maschinen gewonnen wurden, auf einheitliche Werte  $Re$  und  $\eta$  zu bringen.

Sobald verschiedenen schnellläufigen Maschinen miteinander zu vergleichen sind, hat sich für die Bestimmung der Reynoldszahl der Saugmunddurchmesser  $D_s$  als kennzeichnende

3) «Schweizer Archiv f. angew. Wissenschaft. u. Techn.» 1951, Heft 2.

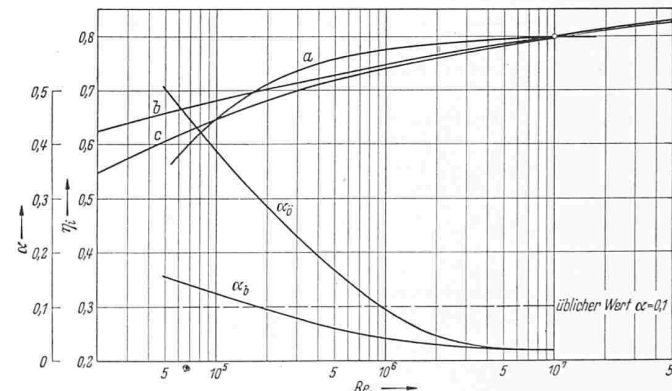


Bild 1. Wirkungsgrad  $\eta_h$  und Aufwertungsexponent  $\alpha$  nach Versuchen von Rotzoll<sup>1)</sup> an einer Einzelmaschine. a) gemessen, b) nach Pfleiderer, c) nach Ackeret umgerechnet.  $\alpha_b$  Aufwertungsexponent bezogen auf  $Re = 10^7$ ,  $\alpha_{\bar{o}}$  örtlicher Wert des Aufwertungsexponenten

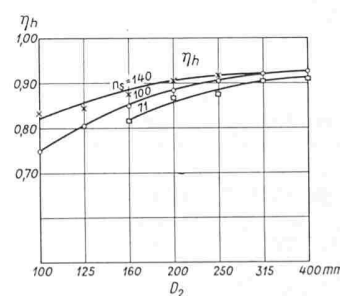


Bild 2a.  $\eta_h$  in Funktion des Laufradaussendurchmessers  $D_2$

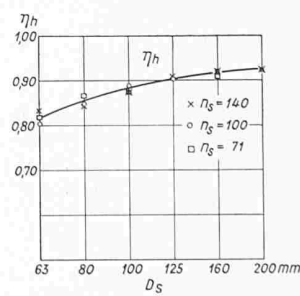


Bild 2b.  $\eta_h$  in Funktion des Saugmunddurchmessers  $D_s$

Tabelle 1. Reynoldszahlen ausgeführter Pumpen und Wasserturbinen

Nr.	Typ	Liefermenge m³/s	Drehzahl U/min	Saugmund $D_s$ in m	$c_0$ m/s	$u_1$ m/s	Lieferziffer $\varphi$ $c_0/u_1$	Reynoldszahl $Re_{D_s}$
1	Brugg NCP. 6	0,008	2900	0,063	2,6	9,6	0,27	$1,64 \cdot 10^5$
2	Brugg NCP. 8	0,016	2900	0,080	3,2	12,2	0,265	$2,55 \cdot 10^5$
3	Brugg NCP. 10	0,0315	2900	0,100	4	15,2	0,265	$4 \cdot 10^5$
4	Brugg NCP. 12½	0,0315	1450	0,125	2,5	9,5	0,265	$3,1 \cdot 10^5$
5	Brugg NCP. 15	0,063	1450	0,150	3,55	11,6	0,3	$5,3 \cdot 10^5$
6	Brugg NCP. 20	0,125	1450	0,200	4	15,4	0,26	$8 \cdot 10^5$
7	Etzel Pumpe	2,890	500	0,900	4,5	23,5	0,19	$4,05 \cdot 10^6$
8	Grimsel	2,000*)	1000	0,680	5,5	36	0,15	$3,7 \cdot 10^6$
9	Herdecke	8,950*)	500	1,280	6,9	33,5	0,205	$8,9 \cdot 10^6$
10	Providenza	7,000*)	450	1,300	5,3	31	0,17	$6,9 \cdot 10^6$
11	Grand Coulee	45,300	200	2,900	6,8	30,5	0,22	$1,98 \cdot 10^7$
12	Francis Turbine	2,350	750	0,700	6,1	27,8	0,22	$4,3 \cdot 10^6$
13	Francis Turbine	3,000	600	0,820	5,7	26	0,22	$4,7 \cdot 10^6$
14	Francis Turbine	6,600	1000	1,050	7,6	55	0,138	$8 \cdot 10^6$
15	Kaplan Turbine	250,000	93,8	6,100	8,5	30	0,28	$5,2 \cdot 10^7$
16	Kaplan Turbine	60,800	214	3,400	6,5	38,5	0,17	$2,2 \cdot 10^7$
17	Ryburg Kaplan Turbine	295,000	75	7,000	7,5	27,7	0,27	$5,3 \cdot 10^7$

\*) Bei doppelflutigen Maschinen wurde die Liefermenge pro Rad eingesetzt.

## Quellen zu Tabelle 1

Nr. 1 bis 6 «Schweizer Archiv», Februar 1951.

7, 13 bis 16 André Ribaux: Turbo-machines III. Editions la Moraine, Genève.

8, 10, 17 P. U. Weber: «Berechnungsgrundlagen und Forschungsprobleme von Wasserturbinen und Speicherpumpen.» «Techn. Rundsch.» vom 15. April 1953.

9, 12 C. Pfeiderer: «Strömungsmaschinen», 2. Auflage. Berlin, Göttingen, Heidelberg 1957, Springer-Verlag.

Länge des Rades herausgestellt. Betrachtet man radiale, halbaxiale oder axiale Strömungsmaschinen<sup>2)</sup>, so tritt als gemeinsames Merkmal der gesammelte Förderstrom am Ein- und Austrittsstutzen in Erscheinung. Eine Bestätigung dieses vorherrschenden Einflusses wurde in eindeutiger Weise bei Versuchen über die Wirkungsgradaufwertung an einstufigen Spiralgehäusepumpen gewonnen. Werden die an verschiedenen schnellläufigen Maschinen erhaltenen Wirkungsgradwerte in üblicher Weise über dem Laufrad-Aussendurchmesser  $D_2$  aufgetragen, so erhält man für drei verschiedene Bauformen drei entsprechende Kurven. Trägt man aber wie in Bild 2b die gleichen Wirkungsgradwerte über dem Saugmunddurchmesser  $D_s$  auf, welcher dem gesammelten Förderstrom entspricht, so ergibt sich die wichtige Feststellung, dass die Messpunkte der drei verschiedenen schnellläufigen Bauformen (spez. Drehzahl  $n_s = 140, 100$  und 71) in eine einzige Kurve zusammenfallen.

Man kann nun diese Erscheinung, wonach sich bei Strömungsmaschinen der Saugmunddurchmesser  $D_s$  als kennzeichnende Abmessung herausstellt, auch auf die Reynoldszahl ausdehnen, indem man bei

$$Re = u \frac{D}{\nu}$$

$u$  und  $D$  auf den Saugmunddurchmesser  $D_s$  bezieht, oder noch besser die ursprüngliche Form der Reynoldszahl

$$Re = c \frac{d}{\nu}$$

wählt, mit  $c = c_0 =$  Durchflussgeschwindigkeit auf der Saugseite des Rades (ohne Schaufel- und Nabenvorengung) und  $d = D_s$ .

Mit dieser Reynoldszahl

$$Re_{D_s} = c_0 \frac{D_s}{\nu}$$

können nun also beliebige, d. h. geometrisch nicht ähnliche Strömungsmaschinen miteinander verglichen werden, wobei diese Fassung noch den weiteren Vorteil hat, dass sie zu direkten Vergleichen der Rohrströmung herangezogen werden kann.

Es ist nun für die Beurteilung von  $Re$ -Werten und für Vergleiche wichtig zu wissen, mit welchen durchschnittlichen Zahlenwerten im gesamten praktisch vorkommenden Bereich überhaupt zu rechnen ist. Zu diesem Zwecke wurden neben einer Reihe kleinerer und mittelgrosser Maschinen mehrere aus der Fachliteratur bekannte Axial- und Radialmaschinen, und zwar sowohl Pumpen als auch Turbinen, herangezogen und in Tabelle 1 zusammengestellt. Liefermenge und Drehzahl konnten jeweils aus den Bildunterschriften herausgelesen, der Saugmunddurchmesser  $D_s$  beim Laufrad z. T. aus den Schnittbildern herausgemessen werden.

Aus der Liefermenge  $V$  und dem Saugmunddurchmesser  $D_s$  wurde die saugseitige Geschwindigkeit  $c_0 = V / \frac{\pi}{4} D_s^2$  ohne Schaufel- und Nabenvorengung berechnet, ebenso aus der Umfangsgeschwindigkeit  $u_1$  die Lieferziffer

$$\varphi = \frac{V}{F_0 u_1} = \frac{c_0}{u_1}$$

Diese ist ein Mass für den saugseitigen Laufradschaufelwinkel. Für die Reynoldszahl  $Re_{D_s} = c_0 \cdot D_s / \nu$  wurde entsprechend einem Betrieb mit Wasser von rund  $20^\circ C$  einheitlich für die Zähigkeit  $\nu = 1/10^6 \text{ m}^2/\text{s}$  eingesetzt. Im Bild 3 sind diese Tabellenwerte aufgetragen und durch eine strichpunktierte Mittellinie miteinander verbunden. Deren Verlauf zeigt, dass mit grösser werdenden Abmessungen die Geschwindigkeit  $c_0$  auf der Saugseite des Laufrades ständig ansteigt bis zu einem Wert, welcher bei der üblichen Aufstellungsart ohne Kavitationsgefahr nicht überschritten werden darf. Die

Tabelle 3. Umrechnung der Werte von Rotzoll von  $Re_{u2}$  auf  $Re_{D_s}$  und von  $\eta_i$  auf  $\eta_h$ 

$Re_{u2}$	$5,5 \cdot 10^4$	$1 \cdot 10^5$	$2 \cdot 10^5$	$5 \cdot 10^5$	$1 \cdot 10^6$	$2 \cdot 10^6$	$5 \cdot 10^6$	$1 \cdot 10^7$
$Re_{D_s}$	$3,6 \cdot 10^3$	$6,6 \cdot 10^3$	$1,33 \cdot 10^4$	$3,3 \cdot 10^4$	$6,6 \cdot 10^4$	$1,33 \cdot 10^5$	$3,3 \cdot 10^5$	$6,6 \cdot 10^5$
$\eta_i$	0,56	0,65	0,71	0,755	0,775	0,79	0,797	0,80
$\zeta_r$ <sup>1)</sup>	0,27	0,20	0,14	0,10	0,08	0,07	0,065	0,06
$1 + \zeta_{sp}$	1,42	1,3	1,2	1,15	1,13	1,115	1,11	1,105
$1 - \zeta_r$								
$\eta_h$	0,80	0,845	0,855	0,868	0,877	0,883	0,884	0,885

1) aus «Konstruktion» Heft 4, 1958, Abb. 5

Tabelle 2. Reynoldszahlen verschiedener Spiralgehäsepumpen, bezogen auf  $D_s$

Saugmunddurchmesser	$D_s$ mm	63	80	100	125	160	200
Hydr. Wirkungsgrad							
%		81,5	85,5	88,3	90,2	91,5	92,5
Mittl. Reynoldszahl							
$Re_{D_s}$		1,64	2,3	3,1	4,2	5,8	$7,6 \cdot 10^5$

grösste Abweichung von den Mittelwerten zeigt die Francis-turbine No. 14, welche wegen dem verhältnismässig hohen Gefälle von 200 m mit relativ hoher Drehzahl betrieben wird und auch eine entsprechend hohe Geschwindigkeit  $c_0$  aufweist. Es ist interessant, dass bei dieser hohen Geschwindigkeit die Lieferziffer  $c_0/u_1$  gemäss Tabelle 1, und damit der saugseitige Laufradschaufelwinkel sehr niedrige Werte aufweisen, eine Eigentümlichkeit, die bei sämtlichen Maschinen hoher Umfangsgeschwindigkeiten  $u_1$  besteht.

In Bild 4 sind die Reynoldszahlen  $Re_{D_s}$  aus Tabelle 1 aufgetragen. Wie in Bild 2b bei den Wirkungsgradwerten fallen nun auch hier die Reynoldszahlen bezogen auf den Saugmunddurchmesser  $D_s$  auf eine gemeinsame Linie. Diese Darstellung zeigt erneut auf eindrückliche Weise, dass für Strömungsmaschinen insbesondere bei Vergleichen verschiedenartiger Maschinen die Reynoldszahl  $Re_{D_s}$ , also bezogen auf den Saugmunddurchmesser, verwendet werden soll. Würde man nämlich  $Re = u^2 \cdot D_s / \nu$  wählen, so wäre die Streuung zwischen Axial- und Radialmaschinen so gross, dass man von einem gesetzlichen Zusammenhang nicht mehr reden könnte.

Für die Gegenüberstellung mit den Versuchswerten von Rotzoll können nun den Wirkungsgradwerten aus Bild 2, welche an einer Serie verschieden grosser Spiralgehäsepumpen<sup>3)</sup> gewonnen wurden, die in Bild 4 festgelegten mittleren Reynoldszahlen  $Re_{D_s}$  beigeordnet werden. Diese Versuche ergaben die Werte der Tabelle 2. Damit sie mit den Versuchswerten von Rotzoll aus Bild 1 verglichen werden können, müssen diese auf gleichartige Reynoldszahl  $Re_{D_s}$  und Wirkungsgrade  $\eta_h$  umgerechnet werden.

Für die Reynoldszahl wurde von Rotzoll die Gleichung

$$Re_{u_2} = u_2 \frac{D_s}{\nu}$$

verwendet. Bei seiner Versuchspumpe war  $D_s/D_s = u_2/u_1 = 2$  und  $c_0/u_1 = 0,27$ , so dass  $c_0 = u_2 \cdot 0,27/2 = u_2/7,5$  und damit

$$Re_{D_s} = c_0 \frac{D_s}{\nu} = \frac{Re_{u_2}}{15}$$

Bei den Wirkungsgradwerten in Bild 1 ist der innere Wirkungsgrad  $\eta_i = \eta/\eta_m$  gewählt, mit  $\eta_m$  als mechanischem Wirkungsgrad, wogegen den Versuchen an verschiedenen schnellläufigen Pumpen der hydraulische Wirkungsgrad

$$\eta_h = \eta_i \frac{1 + \xi_{sp}}{1 - \xi_r}$$

mit  $\xi_{sp}$  = Spaltverlust und  $\xi_r$  = Radreibungsverlust zugrundeliegt. Die Wirkungsgradkurve aus Bild 1 wurde deshalb von  $\eta_i$  auf  $\eta_h$  umgerechnet, wobei der Radreibungsverlust  $\xi_r$ , der bei kleinen  $Re$ -Zahlen wesentlich höher als bei normalem Betrieb mit Wasser und bei üblichen Drehzahlen ist, der Arbeit von Rotzoll entnommen werden konnte. Der Spaltverlust wurde einheitlich zu 3,5 % in Rechnung gestellt.

Die auf Grund der Versuche an einer Einzelmaschine von Rotzoll gemessene Wirkungsgradaufwertung ergibt nun, wie aus Bild 5 hervorgeht, einen ganz anderen Verlauf als die an verschiedenen grossen Maschinen erhaltenen Werte. Es zeigt sich, dass bei Strömungsmaschinen zwei Arten von Aufwertung vorliegen, und zwar eine schwächere, wenn ein und dieselbe Maschine mit verschiedenen  $Re$ -Zahlen geprüft wird, und eine stärkere, wenn verschiedene grosse Maschinen miteinander verglichen werden.

Die Wirkungsgradkurve der Einzelmaschine verläuft infolge Ausscheiden der Radreibungsverluste  $\xi_r$  etwas flacher als in Bild 1, erreicht aber wie dort mit steigender  $Re$ -Zahl asymptotisch einen Höchstwert. So sind die Wirkungsgrade der Einzelmaschine  $\eta_{hD_s 100}$  nach Tabelle 3 zwischen  $Re_{D_s} = 1,33 \cdot 10^5$  und  $6,6 \cdot 10^5$  praktisch gleich hoch. Dies ist nun gerade der Bereich, welcher bei Pumpen für Kaltwasserförderung vorkommt, wie für Wasser mit  $\nu = 1 \cdot 10^{-6}$  eingetragenen beiden Drehzahlen 1450 und 2900 U/min zeigen.

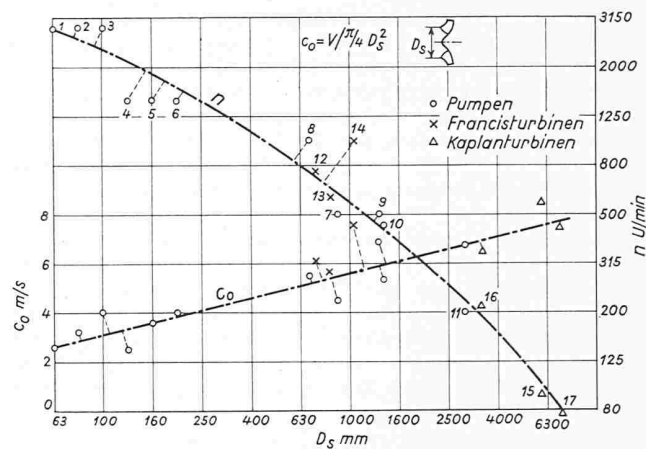


Bild 3. Betriebsdrehzahl  $n$  und Saugmundgeschwindigkeit  $c_0$  bei ausgeführten Anlagen

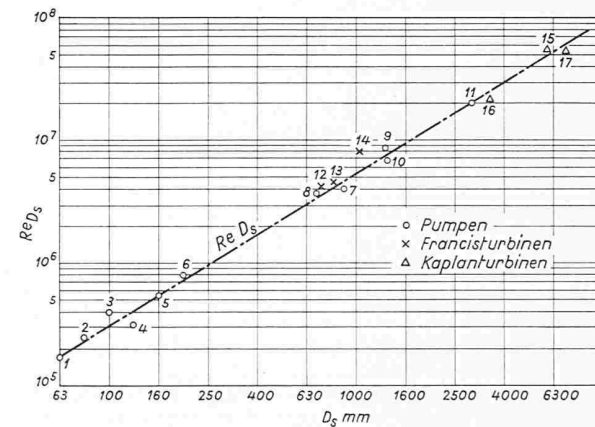


Bild 4. Reynoldszahl  $Re_{D_s}$  für Pumpen und Turbinen in Abhängigkeit des Saugmunddurchmessers  $D_s$

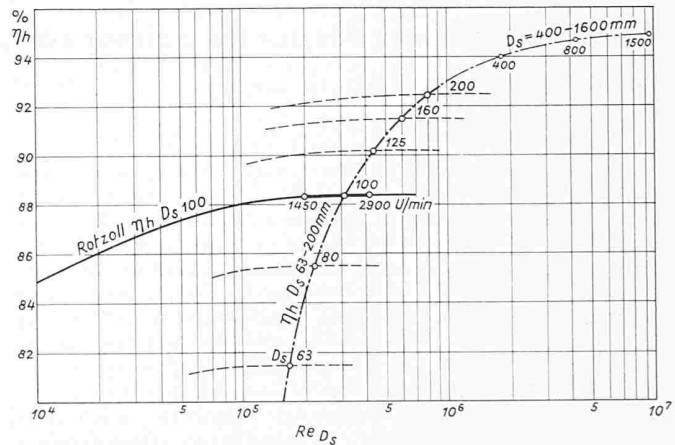


Bild 5. Wirkungsgradaufwertung einer Einzelmaschine  $\eta_{hD_s 100}$  und einer Reihe modellähnlicher Maschinen  $\eta_{hD_s 63 \div 200}$   
— · · · · — für Wasser 20°C und  $c_0$  nach Bild 3

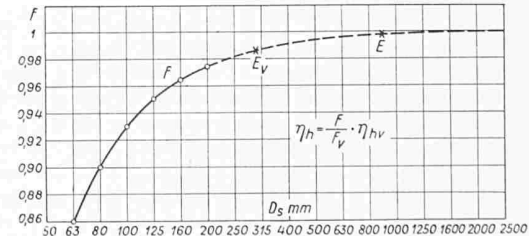


Bild 6. Wirkungsgradaufwertung in Abhängigkeit des Saugmunddurchmessers  $D_s$ . Ausgezogenes Kurvenstück aus Bild 2 umgerechnet; die Punkte  $E_v$  und  $E$  entsprechen der Modellpumpe und der Grossausführung für das Ezelwerk.

Man kann nun für alle andern Einzelmaschinen einen ähnlichen Verlauf voraussetzen, und links und rechts des Kreuzungspunktes mit dem aus Bild 3 übernommenen Mittelwert gleiche Wirkungsgradhöhe vom halben bis zum doppelten *Re*-Wert annehmen, wie dies gestrichelt eingezeichnet ist. Man sieht hieraus sehr deutlich, wie überragend für die Wirkungsgradaufwertung verschieden grosser Maschinen das absolute Mass des *Saugmunddurchmessers* gegenüber der Reynoldszahl ist. Ob man nämlich anstelle der mittleren Betriebsdrehzahl *n* oder der Saugmundgeschwindigkeit *c<sub>0</sub>* nach Bild 3, Werte von doppeltem oder halbem Betrag wählt, so bleibt dies ohne Einfluss auf die Wirkungsgradaufwertung. Wenn also Modell und Grossausführung von den in Bild 2 gezeigten Mittelwerten nicht allzustark abweichen, wie dies in der Praxis auch meist der Fall ist, so scheint als Maßstab für die Wirkungsgrad-Aufwertung der Saugmunddurchmesser besser geeignet als die Reynoldszahl.

Für einstufige Spiralgehäusepumpen konnte aus Bild 2 die Beziehung<sup>3)</sup> (Bild 6) gefunden werden

$$\eta_h = \frac{f}{f_v} \eta_{hv} \quad \text{mit} \quad f = 1 - \frac{3,15}{D_s^{1,6}}$$

wobei *D<sub>s</sub>* den Durchmesser des Saugmundes in cm bedeutet und sich das Fusszeichen *v* auf die Modellmaschine bezieht.

Bezeichnet man nach einem Vorschlag von Pfleiderer<sup>4)</sup> das Wirkungsgradverhältnis von Grossausführung zu Modellmaschine mit

$$\frac{f}{f_v} = \varphi'$$

und wählt man

$$f = 1 - \frac{2,21}{D_s^{3/2}}$$

wobei gegenüber der ersterwähnten Fassung der Faktor *f* bei praktisch gleichbleibenden Werten so abgeändert ist, dass er

auch leicht mit dem Rechenschieber ohne logarithmische Teilung gerechnet werden kann, so wird

$$\eta_h = \varphi' \eta_{hv} \quad \text{mit} \quad \varphi' = \frac{1 - 2,21/D_s^{3/2}}{1 - 2,21/D_{sv}^{3/2}}$$

Dieser Verlauf ist in systematischer Weise bis heute allerdings erst an einstufigen Kreiselpumpen festgestellt worden, und kann bei Turbinen und insbesondere Axialmaschinen etwas anders verlaufen<sup>5)</sup>.

### Zusammenfassung

Untersuchungen über die Wirkungsgradaufwertung an ein und derselben Maschine durch Änderung der Reynoldszahl ergaben, ähnlich wie dies früher schon bei Versuchen mit verschiedenen grossen Maschinen gleicher Bauform festgestellt wurde, im Gegensatz zu den gebräuchlichen Aufwertungsformeln, einen über den gesamten Untersuchungsbereich *veränderlichen* Aufwertungs-Exponenten.

Eine Gegenüberstellung der Wirkungsgradänderung in Abhängigkeit der Reynoldszahl zeigt bei ein und derselben Maschine einen anderen Verlauf als bei Zugrundelegung verschieden grosser Maschinen. Im ersten Fall ist die Aufwertung schwach; im üblichen Drehzahlbereich bleibt der Wirkungsgrad bei Wasserförderung sogar kaum veränderlich. Im zweiten Fall ist dagegen die Aufwertung stark ausgeprägt.

Die viel vertretene Ansicht, dass es möglich sei, anhand von Modellversuchen mit Druckluft, d. h. z. B. mit einem fünfachen Luftdruck und damit entsprechend höherer Reynoldszahl gleiche Ergebnisse zu erzielen wie bei einem fünfach grösseren Raddurchmesser, dürfte nach diesen Versuchen nicht mehr aufrecht erhalten werden können.

4) Pfleiderer — Die Kreiselpumpen, 4. Aufl., S. 161, Springer-Verlag.

5) A. Garve — Ueber Aufwertung und Optimum von Wirkungsgraden bei Turbinen und Pumpen, SBZ 1954, Nr. 13, S. 175.

Adresse des Verfassers: Dr. K. R., Pumpenbau, Brugg.

## Rapport des recherches sur les ouvrages de protection contre les avalanches 1956—1957

Par André Roch, ing. dipl., Weissfluhjoch-Davos

DK 624.182

### I. Introduction

En Suisse, depuis que l'inspecteur général des forêts, chasse et pêche *J. Coaz* a considéré, à juste titre, une forêt épaisse comme la meilleure protection contre les avalanches, on s'efforce de disposer les ouvrages dans la zone de déclenchement selon un double but: retenir les couches de neige et protéger la jeune forêt. En effet, quand l'Etat subventionne des ouvrages de protection, une loi fédérale de 1876 oblige les communes à une reforestation. La plus belle réalisation actuelle de ce genre est la protection du Chemin de Fer Rhétique à Muot. A cet endroit, la ligne est dominée par un versant raide. Lors de la construction de cette ligne, cette pente a été couverte de murs de retenue et simultanément plantée de conifères. Actuellement on ne remarque les murs que dans la partie supérieure, à la limite naturelle des arbres qui ne poussent qu'avec peine, tandis qu'en dessous, une forêt plantureuse élimine le danger d'avalanche. Le résultat est impressionnant et encourageant.

Les ouvrages de protection dans la zone de déclenchement ont suivi une évolution. Ils ont passés des terrasses aux murs, puis aux barrières à claire-voie que l'on nomme râteliers. Une des premières missions de l'Institut Fédéral pour l'Etude de la Neige et des Avalanches (INA) fut de trouver comment calculer la poussée d'une couche de neige inclinée contre une paroi de retenue. Se basant sur la mécanique des sols (Haefeli) ou sur l'écoulement d'une matière visqueuse (Bucher), deux théories ont été établies dont les résultats sont sensiblement concordants. Des mesures dans la nature permettent de vérifier ces poussées théoriques.

L'hiver catastrophique de 1950/51 a provoqué une recrudescence d'activité dans le domaine des ouvrages de défense contre les avalanches. Jusqu'à ces dernières années, la plupart

des râteliers étaient des ouvrages combinés de bois et d'acier. Dès 1952 plusieurs entreprises industrielles s'intéressèrent à fournir les matériaux de construction sous forme de râteliers en béton précontraint, en aluminium ou en treillis de câble. Cette situation obligea les responsables à exiger une certaine garantie d'efficacité et de durabilité des ouvrages, ce qui nécessita l'établissement de directives, éditées en 1955 par l'Inspection Fédérale des Forêts, Chasse et Pêche. Elles furent établies sous forme provisoire par l'Institut en collaboration avec le professeur *R. Haefeli*, d'après les expériences acquises sur des ouvrages de retenue existants et d'après des mesures de contraintes effectuées sur plusieurs râteliers isolés situés aux alentours de l'Institut. En 1956, les «Compléments aux directives» ont été rédigés pour combler quelques lacunes, puis les «Commentaires des directives». Ce sont trois brochures ronéotypées que l'on peut obtenir à l'Inspection Fédérale des Forêts, Chasse et Pêche, à Berne [1]\*).

### II. Les directives provisoires 1955 pour l'édition des ouvrages de retenue de la neige dans la zone de déclenchement des avalanches

Une des premières règles énoncée par les directives est que le râtelier doit en tous cas être aussi haut que la plus grande hauteur possible de neige. Les directives traitent donc de l'établissement et de la mesure de cette hauteur de neige.

Elles traitent ensuite de la pression que la neige exerce sur un râtelier, pression due à la plasticité de la neige et à son glissement au sol. Alors qu'on ne considérait qu'un seul cas de charge, les directives introduisent un second cas de charge. Dans le premier cas, le râtelier est complètement en-

\* ) voir bibliographie à la fin de l'article.